

پوشش‌های آسفالتی اصلاح شده با پلی‌سولفید پلیمر

بهزاد شیرکوند هداوند^{۱*}، منصور فخری^۲، هانی یزدی ازناؤه^۳

۱- تهران، پژوهشگاه علوم و فناوری رنگ، گروه رزین و افزودنی‌ها، صندوق پستی ۱۶۷۶۵-۱۵۴
۲- تهران، دانشگاه صنعتی خواجه نصیرالدین طوسی، دانشکده مهندسی عمران، صندوق پستی ۱۵۸۷۵-۴۴۱۶

دریافت: ۹۰/۱/۲۸، پذیرش: ۹۰/۶/۱۵

چکیده

در صنایع پتروشیمی تولیدکننده پلی‌وینیل کلرید (PVC)، ضایعات سنگین که شامل ترکیبات دارای دو یا چند کلر هستند به هنگام خالص‌سازی اتین‌دی‌کلرید (EDC) به وجود می‌آیند. مقدار زیاد ترکیبات کلردار موجود در ضایعات سنگین امکان پلیرشدن آن را با پلی‌سولفید قلایی برای تشکیل پلی‌سولفید پلیمر می‌دهد. بنابراین، ضایعات خطرناک برای محیط زیست را می‌توان بدون هیچ نوع مشکل زیست‌محیطی به پلی‌سولفید پلیمر تبدیل کرد. روش‌هایی برای سنتز پلی‌سولفید پلیمر از این ضایعات وجود دارد تا بتوان این پلیمر لاستیکی را برای اصلاح قیر مورد استفاده قرار داد. در این پژوهش، اثر پلی‌سولفید پلیمر (PSP) و پلی‌سولفید پلیمر تهیه شده از ضایعات سنگین (wPSP) بر قیر و آسفالت تهیه شده از آنها بررسی و مقایسه شده است. به این منظور، نمونه‌های ۱، ۳ و ۵٪ از wPSP و PSP به عنوان اصلاح کننده قیر و آسفالت تهیه و خواص فیزیکی و مکانیکی آنها با یکدیگر مقایسه شده است. نتایج نشان داد، استفاده از این اصلاح کننده جدید باعث کاهش درجه نفوذ (wPSP=٪۲۷/۶ و PSP=٪۳۹/۵) و افزایش دمای نرمی (wPSP=٪۱۷/۸ و PSP=٪۱۵/۵) در قیر و کاهش شیارشدنگی در مخلوط آسفالتی می‌شود و اثر اندکی بر بهبود استحکام مارشال نمونه‌های آسفالتی (PSP=٪۱۱/۶ و wPSP=٪۴) دارد.

واژه‌های کلیدی

قیر اصلاح شده،
پلی‌سولفید پلیمر،
استحکام مارشال،
خزش دینامیکی، ضایعات

* مسئول مکاتبات، پیام‌نگار:
shirkavand@icrc.ac.ir

مقدمه

استفاده از ضایعات به دلیل کاهش هزینه تولید و کمک به رفع مشکل زیست محیطی از جمله مواردی است که در سال‌های اخیر برای اصلاح قیر مورد توجه قرار گرفته است [۱۷، ۱۸]. ضایعات می‌توانند به طور مستقیم [۱۹] یا با تغییراتی روی آنها استفاده شوند. در مورد اخیر می‌توان به ضایعات پتروشیمی اشاره کرد که با تبدیل به پلیمر می‌تواند به عنوان اصلاح کننده قیر به کار رود [۲۰]. در این پژوهش که در راستای پژوهش پیشین است [۲۰]، عملکرد اثر پلی‌سولفید پلیمر (PSP) و پلی‌سولفید پلیمر به دست آمده از ضایعات سنگین (wPSP) بخش خالص سازی اتیلن دی‌کلرید (EDC) صنایع پتروشیمی تولید کننده پلی‌وینیل کلرید (PVC) بر اصلاح قیر و تهیه آسفالت پلیمری بررسی و خواص فیزیکی و مکانیکی مخلوط آسفالتی، مطالعه و مقایسه شده است. محصولات جانبی تولید پلی‌سولفید پلیمر از ضایعات سنگین، آب و سدیم کلرید است که مشکلات زیست محیطی به همراه ندارد. بنابراین، نتایج به دست آمده از این پژوهش می‌تواند با تبدیل ضایعات به محصولات بی‌خطر و کاربردی در رفع آلودگی‌های محیط زیست نیز مؤثر باشد.

تجربی

مواد

در این پژوهش، از قیر ۶۰/۷۰ پالایشگاه تهران به دلیل مصرف زیاد آن در مناطق مختلف کشور با مشخصات ارایه شده در [جدول ۱](#) استفاده شده است. پلی‌سولفید پلیمر با استفاده از مواد با خلوص صنعتی و ضایعات تقطیر شده بخش ۴۰۰ واحد خالص سازی اتیلن دی‌کلرید پتروشیمی بندر امام مطابق روش‌های ارایه شده تهیه شد [۲۱]. مصالح سنگی مورد استفاده برای تهیه آسفالت، از نوع مصالح آهکی شکسته شده سنگ کوهی منطقه شرق تهران بود که از بین‌های گرم کارخانه آسفالت در اندازه‌های مختلف پرکننده (مسه ۶-۶mm، شن‌های ۰-۶mm و ۰-۱۹mm) نمونه‌گیری شد. دانه‌بندی مصالح سنگی با اندازه‌های مختلف بر اساس استاندارد AASHTO-T27 و همچنین با روش شست و شو (تر) برای مصالح سنگی ریزدانه معین شد. [جدول ۲](#)

راه‌ها به عنوان شبکه ارتیbatی از اهمیت زیادی برخوردارند. ایجاد راه‌های آسفالتی با استفاده از فناوری‌های جدید روز، برای ایجاد جاده‌هایی با عمر طولانی می‌تواند نقش مهمی را در اقتصاد هر کشور داشته باشد. از مشکلاتی که به مرور زمان برای این روش‌ها به وجود می‌آید، ترک خوردگی آنهاست که میلیون‌ها کیلومتر از جاده‌ها را در سرتاسر جهان در بر می‌گیرد [۱]. قیر خالص به عنوان ماده اولیه آسفالت، در شرایط مختلف آب و هوایی کارایی لازم را ندارد و باعث ایجاد این خرابی‌های زودرس در روش‌های آسفالتی می‌شود. روش آسفالتی مناسب باید عاری از حفره و ترک باشد و خواص مهندسی لازم و توجیه اقتصادی را داشته باشد [۲]. ترک‌های بیش از اندازه ناشی از خستگی قیر و ایجاد شیار ناشی از جای چرخ روی آسفالت که در اثر فشارهای دائمی ایجاد می‌شود [۳]، سبب شده است که برای رفع آنها در آسفالت از قیر اصلاح شده استفاده شود. رفتار مخلوط قیری و عوامل اثرگذار بر کارایی آن به طور گسترده مطالعه شده است. رفتار مخلوط‌های قیری تحت تأثیر رفت و آمد و شرایط مختلف آب و هوایی بسیار پیچیده است. برای تهیه پوشش دلخواه باید از مخلوط قیری استفاده کرد که دارای قابلیت پخش شدن مناسب و پایداری در برابر تغییر شکل و ترک خوردگی و نیز مقاومت در برابر رفت و آمد و رطوبت باشد [۴]. تهیه قیر و آسفالت پلیمری در بسیاری از کشورها برای رسیدن به برخی از انتظارات خاص روسازی جاده‌ها نظیر مقاومت در برابر شیار جای چرخ و جلوگیری از گسترش ترک‌های انعکاسی انجام می‌شود. این امر منجر به افزایش طول عمر بهره‌برداری و کاهش هزینه‌های روسازی آسفالتی می‌شود [۵]

مخلوط‌های آسفالتی گرم شامل ذرات معدنی درشت، پرکننده‌های معدنی و مقدار نسبتاً کمی پیوندهای قیری‌اند. برای کارایی بیشتر، پیونده قیری با مقادیر کمی از پلیمرهای مختلف اصلاح می‌شود [۶]. اصلاح قیر به کمک مواد پلیمری [۷-۹]، ضایعات حاصل از پلیمرها [۱۰-۱۲] و حتی ضایعات حاصل از صنایع مختلف [۱۳، ۱۴] انجام می‌شود که بسته به نوع پلیمر می‌تواند آثار مشتبی روی خواص عملکرد دمای بالا و پایین قیر ایجاد کند [۱۵]. باید توجه داشت با وجود تولیدات زیاد مواد پلیمری، تعداد نسبتاً کمی از آنها برای

جدول ۱- مشخصات قیر پایه.

نوع قیر	شرکت سازنده	چگالی (g/cm ³)	درجه نفوذ	دما نرمی (°C)	کشش پذیری (cm)
۶۰/۷۰	پالایشگاه تهران	۱/۰۱	۶۴	۵۲	<۱۰۰

شدہ با قیر پایه و قیرهای حاوی PSP و wPSP به قطر mm ۱۰۰ و ارتفاع mm ۷۰ در دماهای ۳۰، ۴۰ و ۵۰°C تحت تنشی پیش‌بارگذاری ۱۲ kPa به مدت s ۱۲۰ و تعداد پالس بارگذاری ۱۸۰۰ چرخه با تنشی برابر ۱۰۰ kPa انجام شد. مدت زمان هر چرخه ۲ s بود که ۱ s مربوط به بارگذاری و ۱ s استراحت بود. کل ۱۸۰۰ چرخه در مدت زمان s ۳۶۰۰ به نمونه‌ها اعمال شد. مقادیر مربوط به تعداد چرخه‌ها، بار یا تنش اعمال شده، کرنش و تغییر شکل به طور پیوسته به وسیله رایانه متصل به دستگاه ثبت شد.

ساخت و تهیه نمونه‌های مخلوط آسفالتی برای طرح اختلاط آسفالت بر اساس روش استاندارد ASTM D1559 انجام شد. نمونه‌های ۱۲۰۰ گرمی مصالح سنگی که همگی دارای دانه‌بندی میانگین حد مجاز معین شده بودند و هم‌چنین قیر پایه به گونه‌ای گرم شدند که حین اختلاط دمای آنها برابر دمایی باشد که در آن دما کندروانی قیر معادل cSt 170 ± 20 شود. سپس، مقدار قیر به وزن معین به مصالح سنگی اضافه شد و با قرار دادن ظرف در زیر مخلوط کن که مجهر به دستگاه گرم کن بود، عمل اختلاط قیر و مصالح سنگی انجام شد.

در نهایت پس از آغازته شدن کامل مصالح سنگی با قیر، آسفالت داخل قالب‌های مارشال ریخته شد. قالب‌ها در زیر چکش تراکم قرار گرفتند و هر طرف نمونه‌ها با ۷۵ ضربه متراکم شد. پس از متراکم شدن اجازه داده شد، نمونه‌ها در هوای محیط سرد شوند. برای تعیین پارامترهای استحکام مارشال و روانی، نمونه‌ها پس از خارج شدن از قالب به مدت min ۴ در حمام آب ۶۰°C قرار گرفتند. در انتهای نمونه‌ها تک تک از آب خارج و سطح آنها با پارچه خشک شد و بلا فاصله در زیر فک دستگاه قرار داده شدند. عمل بارگذاری روی

دانه‌بندی به کار رفته روی مصالح سنگی را نشان می‌دهد.

دستگاه‌ها

اختلاط قیر و پلیمر با استفاده از مخلوطکنی با سرعت برش زیاد و سامانه 600 Polytron مجهز به هم زن 2/3030 PT-DA همراه با مخلوطکن Polymix ساخت شرکت Kinematika مجهز به هم زن چهارپره‌ای معمولی انجام شد. برای بررسی آزمون خوش دینامیکی از دستگاه Universal Testing Machine (UTM) استفاده شد. این دستگاه براساس پارامترهای مکانیکی و سازه‌ای با قابلیت پیش‌بینی عملکرد میدانی روسازی دارای سامانه بارگذاری با هوای فشرده است و قابلیت اعمال هر نوع بار مانند سینوسی و مستطیلی را نیز دارد. برای اندازه‌گیری تغییر شکل‌های دائم دستگاه 19 UTM طبق استاندارد BS-DD226 به کار گرفته شد.

روش‌ها

تهیه قیر و آسفالت اصلاح شده

برای تهیه قیر پلیمری، ابتدا قیر در گرم خانه تا دمای $170 \pm 5^\circ\text{C}$ شد و به ظرف اختلاط انتقال یافت. سپس، دما تا 185°C افزایش یافت و اصلاح کننده پلیمری با درصدهای وزنی مختلف (۱، ۳ و ۵٪) به آن اضافه شد. عمل هم‌زدن با سرعت هم زن rpm ۱۰۰۰۰ به مدت min ۴۵ ادامه یافت. پس از اتمام عمل اختلاط، قیر پلیمری از راه شیر تعییه شده در انتهای ظرف اختلاط خارج شد و در ظروف نمونه‌بندی مناسب برای انجام آزمون‌های مختلف و تهیه آسفالت ریخته شد.

برای انجام آزمایش خوش دینامیکی نمونه‌های استوانه‌ای ساخته

جدول ۲- دانه‌بندی مصالح سنگی بین‌های گرم.

اندازه الک (mm)	شن (۱۲-۱۹ mm)	شن (۶-۱۲ mm)	ماسه (۰-۶ mm)	پرکننده
(۵/۱in) ۵/۳۷	—	—	—	—
(۱in) ۲۵	—	—	—	—
۱۹	۱۰۰	—	—	—
۵/۱۲	۳۰/۲	۱۰۰	—	—
۵/۹	۰/۷	۸۴/۸	۱۰۰	—
۷۵/۴ (شماره ۴)	۰	۳/۳	۹۶/۶	—
۳۶/۲ (شماره ۸)	—	۷۰/۴	۱۰۰	۹۲/۴
۳/۰ (شماره ۵۰)	—	—	۱۸/۴	۵۳/۵
۰/۰۷۵ (شماره ۲۰۰)	—	—	۷/۱	—

جدول ۳- مشخصات قیر پلیمری به ازای درصدهای مختلف پلی‌سولفید پلیمر.

درصد اصلاح کننده قیر	درجه نفوذ	دما نرمی (°C)	شاخص نفوذپذیری	کشش پذیری (cm)	افت وزنی (%)
۰ (پایه)	۶۴	۵۲	-۰/۱	۱۲۲>۱۰۰	۰/۰۱۸
(PSP) ۱	۴۲/۶	۵۶/۸	-۰/۰۰۸	۱۱۲>۱۰۰	۰/۰۲
(PSP) ۳	۴۹/۲	۵۷/۲	۰/۴۱	۱۰۳>۱۰۰	۰/۰۲
(PSP) ۵	۳۸/۷	۶۱/۳	۰/۶۷	۹۰	۰/۰۲۷
(wPSP) ۱	۴۶/۳	۵۹/۲	۰/۶۸	۱۱۸>۱۰۰	۰/۰۲۶
(wPSP) ۳	۴۹/۸	۵۶/۸	۰/۳۶	۱۱۰>۱۰۰	۰/۰۲۷
(wPSP) ۵	۵۳/۵	۶۰/۱	۱/۲۲	۱۰۱>۱۰۰	۰/۰۲۷

پروپن، ۱-۴، ۲- بوتن، ۱، ۲- تراکلرواتان و ۱-۴، ۲- دی‌کلرو- ۲- بوتن در آن زیاد بود. پس از تهیه پلی‌سولفید پلیمر، درصدهای مختلفی از آن با قیر مخلوط و مشخصات قیر پلیمری تهیه شده بررسی شد.

جدول ۳ مشخصات قیر پلیمری تهیه شده از PSP و wPSP را به ازای درصدهای مختلف این پلیمرها نشان می‌دهد. همان‌طور که از نتایج این جدول مشخص است، افزودن این پلیمرها با افزایش دما نرمی و کاهش درجه نفوذ قیر همراه است که باعث بهبود خواص قیر و در نتیجه کاهش شیاردارشدن آسفالت در دمای بالا می‌شود. شاخص نفوذپذیری قیر با افزایش این مواد به قیر زیاد می‌شود که نشان‌دهنده حساسیت گرمایی کم قیر به دست آمده است.

افزودن پلی‌سولفید پلیمر و پلی‌سولفید پلیمر به دست آمده از ضایعات در قابلیت کشش قیر پایه اثر قابل ملاحظه‌ای را ایجاد نکرد. این موضوع نشان‌دهنده آن است که افزودن این مواد باعث کاهش

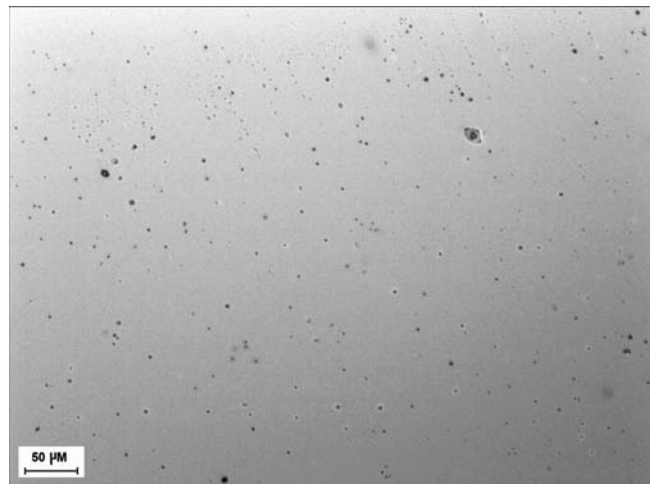
آنها تا جایی انجام شد که بارگذاری افزایش مقاومت را نشان ندهد. این عمل ادامه یافت و در نهایت عدد مربوط به استحکام فشاری و روانی نمونه‌ها ثبت شد. آزمون‌های اندازه‌گیری درجه نفوذ، دما نرمی، افت وزنی، قابلیت کشش به ترتیب بر اساس استانداردهای D113، D1754، D36، ASTM D5 روی نمونه‌های تهیه شده انجام شد.

نتایج و بحث

در ابتدا، ضایعات سنگین به کمک تقطیر از بخش جامد آنها جدا و شناسایی شدند. زیرا، درصد احتمال وجود ترکیباتی نظیر دی‌کلرواتان، ۱-۲، تری‌کلرواتان، ۳-۴، دی‌کلرو-۱- بوتن، ۱، ۱- دی‌کلروپروپان، ۱-۳، دی‌کلرو- ۲- بوتن، ۱-۳- دی‌کلرو- ۲- متیل



(ب)



(الف)

شکل ۱- تصاویر میکروسکوپی آمیزه‌های قیری با ۵٪ پلی‌سولفید پلیمر و بزرگ‌نمایی ۱۰۰: (الف) PSP و (ب) wPSP.

جدول ۵- نسبت‌های اختلاط مصالح سنگی مخلوط آسفالتی.

درصد اختلاط	مشخصات مصالح سنگی
۷	شن ۱۲-۱۹ mm
۳۳	شن ۶-۱۲ mm
۵۶	ماسه ۰-۶ mm
۴	پرکننده

مخلوط مصالح سنگی و نسبت‌های اختلاط مصالح سنگی نشان داده شده است.

نتایج آزمون مارشال

ابتدا با استفاده از مصالح سنگی و قیر پایه ۶۰/۷۰ درصد قیر بهینه مخلوط‌های آسفالتی براساس پارامترهای مارشال مطابق **جدول ۶** به مقدار ۳ و ۵ درصد به دست آمد. سپس، با توجه به درصد قیر بهینه برای قیر پایه نمونه‌های دیگری با قیرهای پلیمری به ازای ۵ درصد پلی‌سولفید پلیمر (PSP) و ۵ درصد پلی‌سولفید پلیمر به دست آمده از ضایعات (wPSP) (که بیشترین اثر را در بهبود خواص قیر پایه حاصل کرده‌اند) با همان درصد قیر بهینه اولیه قیر پایه ساخته شد تا به ازای درصد قیر بهینه اولیه، خواص آسفالت با همان درصد قیر اولی به ازای بهترین درصد (۵٪) ترکیب قیر و دو نوع پلیمر را بتوان مقایسه کرد.

نتایج به دست آمده از آزمایش مارشال (**جدول ۷**) حاکی از آن است که افزودن پلی‌سولفید پلیمر و پلی‌سولفید پلیمر تهیه شده از ضایعات باعث افزایش فضای خالی (به علت تورم پلیمر در ترکیب با قیر) مخلوط‌های آسفالتی پلیمری نسبت به آسفالت حاوی قیر پایه شده است. اما این افزایش، باعث افزایش فضای خالی بیش از

جدول ۴- دانه‌بندی مخلوط آسفالتی مورد استفاده.

درصد عبور	اندازه الک (mm)
۱۰۰	۱۹
۹۵	۱۲/۵
۵۹	۴/۷۵ (شماره ۴)
۴۳	۲/۳۶ (شماره ۸)
۱۲	۰/۰۳ (شماره ۵۰)
۶	۰/۰۷۵ (شماره ۲۰۰)

چسبندگی قیر نمی‌شوند. درجه اشتغال قیر اصلاح شده نسبت به قیر پایه افزایش یافت یا تغییری نکرد که این امر حاکی از عدم شعله‌ورشدن آن هنگام اختلاط است. افت وزنی قیر نیز تغییر چندانی نکرد که این امر نشان‌دهنده عملکرد این مواد در جلوگیری از کاهش وزن قیر و سخت شدن تدریجی آن است.

در **شکل ۱**، نحوه توزیع ذرات پلی‌سولفید پلیمر در قیر با ۷۵٪ درصد وزنی و بزرگ‌نمایی ۱۰۰ نشان داده شده است. تصاویر حاکی از پخش مناسب و یکنواخت پلیمر در قیر بدون جدایی فاز پلیمری است که نشان‌دهنده سازگاری این پلیمر با قیر است.

برای تهیه مخلوط آسفالتی و ارایه طرح اختلاط از محدوده دانه‌بندی شماره ۴ (لایه رویه) مندرج در نشریه ۲۳۴ (آین نامه روسازی آسفالتی راه‌های ایران) استفاده شد. به این دلیل که اکثرًا بروز انواع خرابی‌ها در رویه‌های آسفالتی اتفاق می‌افتد. با توجه به نتایج حاصل از دانه‌بندی مصالح سنگی تهیه شده از کارخانه آسفالت، به منظور دست‌یابی به دانه‌بندی مخلوط مصالح سنگی، با توجه به حدود مشخصات دانه‌بندی شماره ۴، نسبت‌های اختلاط مصالح سنگی معین شد. در **جدول‌های ۴ و ۵** به ترتیب نتایج دانه‌بندی

جدول ۶- پارامترهای حجمی و فیزیکی مخلوط آسفالتی به ازای درصدهای مختلف قیر.

روانی (mm)	استحکام مارشال (kg _f)	VFA ^۱ (%)	VMA ^۲ (%)	Va ^۳ (%)	وزن مخصوص G _{mb}	درصد قیر
۸/۱	۷۳۸	۳۷/۰	۱۷/۲	۱۰/۸	۲/۲۴۸	۳/۵
۹/۰	۸۷۲	۴۵/۴	۱۶/۵	۹/۰	۲/۲۷۷	۴/۰
۹/۹	۹۷۶	۵۳/۹	۱۶/۰	۷/۴	۲/۲۹۸	۴/۵
۱۰/۷	۱۰۸۳	۶۴/۲	۱۵/۳	۵/۵	۲/۳۰۸	۵/۰
۱۱/۶	۱۲۲۳	۷۶/۰	۱۴/۶	۳/۵	۲/۳۳۹	۵/۵
۱۲/۰	۱۱۵۷	۸۳/۷	۱۴/۷	۲/۴	۲/۳۵۲	۶/۰

(۱) فضای خالی مخلوط آسفالتی، (۲) فضای خالی مصالح سنگی و (۳) فضای خالی پرشده با مخلوط آسفالتی.

جدول ۷- نتایج آزمایش مارشال مخلوط‌های آسفالتی در مقدار قیر بهینه ۳ و ۵ درصد.

استحکام مارشال (kg)	روانی (mm)	فضای خالی نمونه آسفالتی (%)	وزن مخصوص نمونه (میانگین سه نمونه)	نوع مخلوط آسفالتی
۱۰۹۰	۱۱	۴/۱	۲/۲۷۹	مخلوط رویه آسفالتی (توپیکا) با قیر خالص
۱۱۵۴	۱۰/۵	۴/۵	۲/۲۷۰	مخلوط رویه آسفالتی با قیر اصلاح شده دارای ۵٪ PSP
۱۱۰۴	۱۰	۴/۶	۲/۲۶۹	مخلوط رویه آسفالتی با قیر اصلاح شده دارای ۵٪ wPSP

همان طور که از شکل ۲ مشخص است، با افزودن هر دو نوع پلی‌سولفید پلیمر این نسبت افزایش می‌یابد. به طوری که نسبت مارشال نمونه‌های حاوی PSP و wPSP در مقایسه با نسبت مارشال نمونه بدون افزودنی به ترتیب ۴ و ۱۱٪ افزایش نشان می‌دهد. این مطلب می‌تواند نشان‌دهنده مقاومت اولیه نمونه‌های حاوی PSP و wPSP و در نتیجه کاهش تغییر شکل‌های دائمی نمونه‌ها باشد.

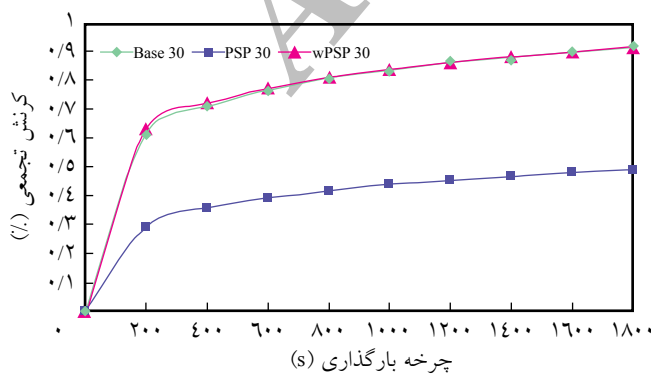
نتایج آزمون خوش دینامیکی

مهم‌ترین هدف آزمایش خوش، مطالعه عملکرد مخلوط آسفالتی زیر بار ایستا یا پویا در برابر تغییر شکل دائمی در طول زمان است. به عبارت دیگر، به وسیله آزمایش خوش نمی‌توان عمق شیار را پیش‌بینی کرد و فقط از آن می‌توان برای تخمین پتانسیل شیارافتادگی مخلوط آسفالتی استفاده کرد. در آزمایش خوش دینامیکی برای شبیه‌سازی بهتر با شرایط بارگذاری عملی، اعمال بار به شکل تکراری است و تغییر شکل‌ها در همان جهت اعمال بار اندازه‌گیری می‌شود [۲۳]. نمودارهای مربوط به کرنش تجمعی در برابر ۱۸۰۰ چرخه بارگذاری، مربوط به دماهای مختلف برای هر سه نمونه قیر در **شکل‌های ۳** تا **۵** نشان داده شده است.

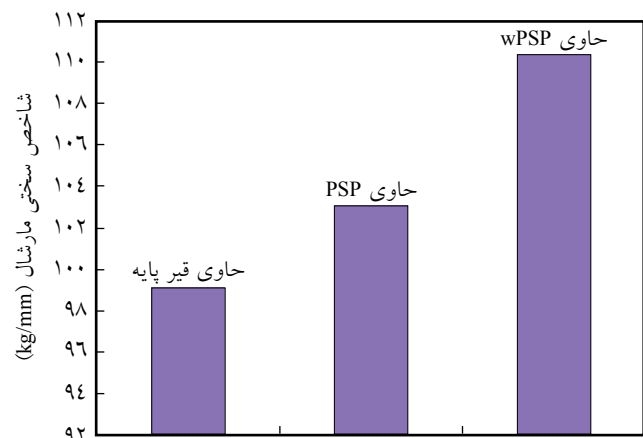
نتایج آزمایش خوش نشان می‌دهد، افزودن پلی‌سولفید پلیمر و

حد استاندارد ۳ تا ۵ درصد نمی‌شود. هم‌چنین، استحکام مارشال نمونه‌ها به مقدار اندکی افزایش یافته است، به طوری که این پارامتر برای نمونه‌های حاوی PSP و wPSP نسبت به نمونه ساخته شده با قیر پایه به ترتیب ۶ و ۹٪ افزایش داشته است. هم‌چنین نتایج این آزمایش نشان می‌دهد، با افزودن PSP و wPSP روانی نمونه‌ها به ترتیب ۵ و ۹٪ کاهش یافته است. علت این تفاوت را می‌توان به اختلاف در ساختار پلیمرها و منشا تشکیل آنها نسبت داد. اگرچه برای تولید هر دو پلیمر از مونومرهای کلردار استفاده شده است، اما برای تهیه wPSP از چند نوع مونومر کلردار (ترکیبات کلردار موجود در ضایعات سنگین تقطیر شده) استفاده شده است و پلیمرهایی از خانواده پلی‌سولفید با ساختارها و نسبت‌های متفاوت به دست آمده است و علت تفاوت مشاهده شده و کارایی بهتر wPSP می‌تواند به این دلیل باشد.

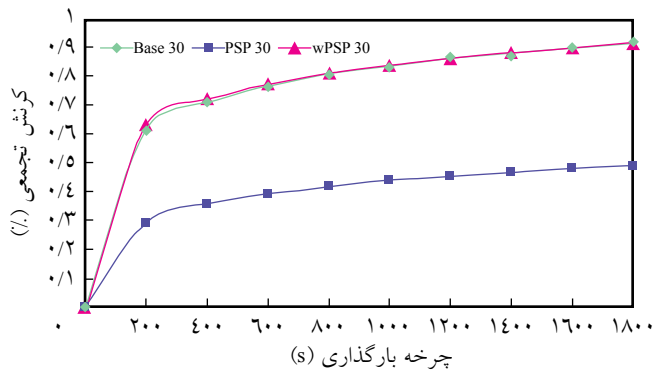
پارامتر دیگری که برای تعیین پتانسیل شیارشدنگی مخلوط‌های آسفالتی استفاده می‌شود، نسبت مارشال است. این نسبت عبارت است از نسبت استحکام مارشال به روانی آسفالت که مقداری تجربی برای بیان مقاومت مخلوط آسفالتی در برابر تغییر شکل‌های دائم است [۲۲]. نسبت مارشال نمونه‌های آسفالتی در **شکل ۲** ارایه شده است.



شکل ۳- نمودار روند کرنش تجمعی برای نمونه‌های قیری در دمای 30°C .



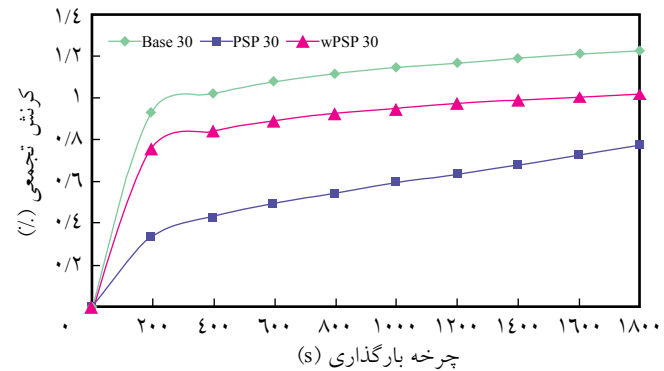
شکل ۲- نسبت مارشال نمونه‌های آسفالتی.



شکل ۵- نمودار روند کرنش تجمعی برای نمونه‌های قیری در دمای ۶۰°C

(روانی مارشال-استحکام مارشال) نمونه‌های مخلوط آسفالتی پلیمری در شرایط یکسان، بیانگر استحکام نسبتاً بیشتر آسفالت پلیمری حاصل در برابر تغییر شکل‌های دائم نسبت به آسفالت حاوی قیر پایه است. هم‌چنین، نتایج حاصل از آزمایش خوش دینامیکی روی نمونه‌های آسفالتی ساخته شده با قیر پایه و قیرهای اصلاح شده حاکی از مقاومت زیاد مخلوط آسفالت پلیمری نسبت به آسفالت معمولی در برابر شیار جای چرخ است. با توجه به فرضیات اولیه، که این پلیمر باعث بهبود خواص قیر و مخلوط آسفالتی در دماهای بالا می‌شود، با افزایش دما مقاومت در برابر شیار جای چرخ در نمونه‌های پلیمری افزایش یافت.

با مقایسه آثار PSP و wPSP در پژوهش‌های آسفالتی، عملکرد بهتر wPSP مشخص می‌شود که این امر علاوه بر صرفه اقتصادی با ایجاد کاربرد مناسبی برای wPSP، باعث جلوگیری از آلودگی‌های زیست محیطی ناشی از سوزاندن احتمالی ضایعات صنایع پتروشیمی نیز می‌شود.



شکل ۴- نمودار روند کرنش تجمعی برای نمونه‌های قیری در دمای ۴۰°C

پلی‌سولفید پلیمر حاصل از ضایعات باعث کاهش کرنش تجمعی در مخلوط آسفالتی شده که این مقادیر بالا رفتن دمای آزمایش از کاهش بیشتری برخوردار است. بدین ترتیب می‌توان نتیجه گرفت، مقاومت مخلوط آسفالتی در دماهای بالا در برابر شیار جای چرخ با افزودن این دو نوع پلیمر نسبت به مخلوط آسفالتی ساخته شده با قیر پایه بیشتر شده است. علت این امر را می‌توان به چسبندگی مناسب آمیزه پلیمری به دست آمده و مقاومت گرمایی آن نسبت داد.

نتیجه گیری

پلی‌سولفید پلیمر و پلی‌سولفید پلیمر به دست آمده از ضایعات، دمای نرمی قیر را افزایش داده و باعث کاهش درجه نفوذ آن می‌شوند. افزایش دمای نرمی باعث افزایش خاصیت کشسانی و سیالیت قیر در دماهای بالا شده که این امر موجب بهبود خواص قیر و در نتیجه مخلوط آسفالتی در مناطق گرمسیر می‌شود. افزایش نسبت مارشال

مراجع

- Kim Y.R., Park H.M., Thiago F., Aragão S., and Lutif J.E.S., Effects of Aggregate Structure on Hot-Mix Asphalt Rutting Performance in Low Traffic Volume Local, *Construct. Build. Mater.*, **23**, 2177-2182, 2009.
- Lu X. and Redelius P., Effect of Bitumen Wax on Asphalt Mixture, *Construct. Build. Mater.*, **21**, 1961-1970, 2007.
- Lee H.J., Lee J.H., and Park H.M., Performance Evaluation of High Modulus Asphalt Mixtures for Long Life Asphalt, *Construct. Build. Mater.*, **21**, 1079-1087, 2007.
- Kok B.V. and Kuloglu N., The Effects of Different Binders on Mechanical Properties of Hot Mix Asphalt, *Int. J. Sci. Technol.*, **2**, 41-48, 2007.
- Yildim Y., Polymer Modified Asphalt Binders, *Construct. Build. Mater.*, **21**, 66-72, 2007.
- Tayfur S., Ozen H., and Aksoy A., Investigation of Rutting Performance of Asphalt Mixtures Containing Polymer, *Construct. Build. Mater.*, **21**, 328-337, 2007.
- Sadraddini M.R., Yousefi A.A., and Kavussi A., Improving Bitumen Properties by Polymeric Materials, *Iran. J. Polym. Sci. Technol. (In Persian)*, **15**, 103-120, 2002.

- پژوهش‌های آسیلاتی اصلاح شده با پلی‌سولفید پلیمر
8. Doğan M. and Bayramlı E., Effect of Polymer Additives and Process Temperature on the Physical Properties of Bitumen-Based Composites, *J. Appl. Polym. Sci.*, **113**, 2331–2338, 2009.
 9. Pérez-Lepe A., Martínez-Boza F.J., and Gallegos C., High Temperature Stability of Different Polymer-Modified Bitumens: A Rheological Evaluation, *J. Appl. Polym. Sci.*, **103**, 1166–1174, 2007.
 10. Naskar M., Chaki T.K., and Reddy K.S., Effect of Waste Plastic as Modifier on Thermal Stability and Degradation Kinetics of Bitumen/Waste Plastics Blend, *Thermochimica Acta*, **509**, 128–134, 2010.
 11. Navarro F.J., Partal P., Martínez-Boza F.J., and Gallegos C., Novel Recycled Polyethylene/Ground Tire Rubber/Bitumen Blends for Use in Roofing Applications: Thermo-Mechanical Properties, *Polym. Test.*, **29**, 588–595, 2010.
 12. Xiang L., Cheng J., and Que G., Microstructure and Performance of Crumb Rubber Modified Asphalt, *Construct. Build. Mater.*, **23**, 3586–3590, 2009.
 13. Yousefi A.A., Polymer-Modified Bitumen from the Wastes of Petrochemical Plants, *Iran. Polym. J.*, **18**, 207–215, 2009.
 14. Yousefi A., Yousefi A.A., and Arjomandi M., The Properties of Polymer-modified Asphalt Derived from Vacuum Bottom and Wastes of PE and SBR Plants, *Iran. J. Polym. Sci. Technol. (In Persian)*, **21**, 235–241, 2008.
 15. Brule B., Brion Y., and Tanguy A., Paving Asphalt Polymer Blends: Relationship between Composition, Structure and Properties, *Proceedings of the Association of Asphalt Paving Technologists*, **57**, 41–64, 1988.
 16. Lu X. and Isacsson U., Modification of Road Bitumen with Thermoplastic Polymers, *Polym. Test.*, **20**, 77–86, 2001.
 17. Mortazavi S.B., Rasoulzadeh Y., Yousefi A.A., and Khavanin A., Properties of Modified Bitumen Obtained from Vacuum Bottom by Adding Recycled Waste Polymers and Natural Bitumen, *Iran. Polym. J.*, **19**, 197–205, 2010.
 18. Rasoulzadeh Y., Mortazavi S.B., Yousefi A.A., Khavanin A., and Kazemnejad Lili A., Effect of Recycled Waste Polymers, Natural Bitumen and HVS Cut on the Properties of Vacuum Bottom, *Iran. J. Polym. Sci. Technol. (In Persian)*, **23**, 85–95, 2010.
 19. Navarro F.J., Partal P., García-Morales M., Martín-Alfonso M.J., Martínez-Boza F., Gallegos C., Bordado J.C.M., and Diogo A.C., Bitumen Modification with Reactive and Non-Reactive (Virgin and Recycled) Polymers: A Comparative, *J. Ind. Eng. Chem.*, **15**, 458–464, 2009.
 20. Shirkavand Hadavand B., Bitumen Modification with Polysulfide Polymer Prepared from Heavy End Waste, *Iran. Polym. J.*, **19**, 363–373, 2010.
 21. Shirkavand Hadavand B. and Khoshnevisan Z., New Method for Direct Synthesis of Liquid Polysulfide Polymer Using Heavy End Waste, The 12th European Polymer Congress (EPF'09), Graz, Austria, 12–17 July, 2009.
 22. Brown E.R., Kandhal P.S., and Zhang J., Performance Testing for Hot Mix Asphalt, National Center for Asphalt Technology, NCAT, Report 01-05, 2001.
 23. Asi I.M., Performance Evaluation of Superpave and Marshal Asphalt Mix Design to Suit Jordan Climatic and Traffic Condition, *Construct. Build. Mater.*, **21**, 1732–1740, 2007.